

УДК 548.73:[547.753+547.461.3'052.2]

МОЛЕКУЛЯРНАЯ И КРИСТАЛЛИЧЕСКАЯ СТРУКТУРА  
ДИ- И ГЕКСАМЕТИНМЕРОЦИАНИНОВЫХ КРАСИТЕЛЕЙ С ПОЛОЖИТЕЛЬНОЙ  
СОЛЬВАТОХРОМИЕЙ — ПРОИЗВОДНЫХ ЗН-ИНДОЛА И МАЛОНОНИТРИЛА

© 2007 А.В. Кулинич<sup>1</sup>, А.А. Ищенко<sup>1\*</sup>, С.В. Шишкина<sup>2</sup>, И.С. Коновалова<sup>2</sup>, О.В. Шишkin<sup>2</sup>

<sup>1</sup>Институт органической химии НАН Украины, Киев

<sup>2</sup>НТК "Институт монокристаллов" НАН Украины, Харьков

Статья поступила 21 декабря 2006 г.

Методами рентгеноструктурного анализа и ИК спектроскопии изучена молекулярная и кристаллическая структура 2-[(2E)-2-(1,3-дигидро-1,3,3- trimетил-2Н-индол-2-илиден)этилиден]малононитрила (**1**) и 2-[(2E,4E,6E)-6-(1,3-дигидро-1,3,3- trimетил-2Н-индол-2-илиден)-2,4-гексадиенилиден]малононитрила (**2**). Показано, что в кристалле, так же как в растворе, исследуемые мероцианины сохраняют полностью *транс*-конформацию и приближаются к нейтральному полиену. Установлено, что полиеновый характер усиливается при переходе от ди- к гексаметинмероцианину, что связано с частичным нарушением сопряжения неподеленной пары атома азота вследствие небольшого выхода ее из плоскости хромофора. Показано, что частота валентного колебания цианогруппы в ИК спектре мероцианинов на основе малононитрила может быть использована при анализе полиен-полиметиновых электронных релаксаций. Проведены квантовохимические расчеты пространственного и электронного строения молекул мероцианинов методами AM1, PM3 и *ab initio*. Расчетные данные сопоставлены с экспериментальными.

**Ключевые слова:** мероцианины, рентгеноструктурный анализ, конформация, ИК спектроскопия, квантовохимический расчет.

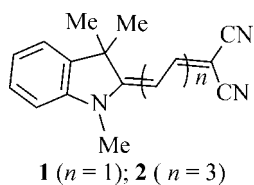
Мероцианиновые красители представляют собой сопряженные полиметиновые системы, содержащие донорную и акцепторную терминалные группы [1, 2]. В зависимости от строения этих групп, длины полиметиновой цепи и природы растворителя дипольный момент мероцианинов при возбуждении может сильно увеличиваться или уменьшаться [1—3]. Поэтому они находят широкое применение в различных областях, связанных с преобразованием световой энергии, например, в нелинейной оптике [4], средствах записи и обработки информации [2], оптоэлектронике [2, 5], медицине и биологии [3].

Основным методом исследования мероцианинов являются электронные спектры поглощения [1—3] и люминесценции [6, 7]. Эти исследования проводятся преимущественно в растворах. При этом их электронное строение зависит от природы выбранного растворителя [1—3], поэтому представляет интерес исследовать их строение в других агрегатных состояниях. Получить достоверные электронные спектры в парах или в твердом состоянии мероцианинов проблематично. В первом случае по причине высокой температуры возгонки, что может приводить либо к разложению (полному или частичному) красителей, либо термохромным спектрально-люминесцентным эффектам, для которых характерно изменение положения, интенсивности и формы полос [8]. Во втором случае из-за сильного искажения спектров в результате расщепления электронных уровней под действием сильных межмолекулярных взаимодействий

\* E-mail: alexish@i.com.ua

(ММВ), вследствие малых расстояний между молекулами. Этих недостатков лишены ИК спектры. Однако они малоинформационны из-за близости частот колебаний связей C=C, C=N и C=O, основных хромофорных фрагментов большинства мероцианинов [ 2, 3 ]. Рентгеноструктурный анализ способен дать наиболее объективную информацию о стерическом и электронном строении мероцианинов. Данные РСА для них весьма ограничены и носят преимущественно описательный структурный характер [ 9 ].

Целью настоящей работы явилось исследование особенностей строения мероцианинов **1** и **2** в кристаллическом состоянии по сравнению с жидкими растворами методами РСА и ИК спектроскопии. Электронные спектры поглощения этих красителей в растворителях различной полярности (сольватохромия) изучены в работе [ 10 ].



Повышенный интерес к мероцианинам **1** и **2** вызван также тем, что они характеризуются высокой квадратичной поляризуемостью, отвечающей за важное нелинейно-оптическое свойство материалов — генерацию второй гармоники лазерного излучения [ 11 ].

### ЭКСПЕРИМЕНТАЛЬНАЯ ЧАСТЬ

Кристаллы мероцианина **1** получены кристаллизацией из этанола, а соединения **2** выращены медленным упариванием из его раствора в хлороформе.

Кристаллы мероцианина **1** ромбические,  $C_{16}H_{15}N_3$ , при  $20\text{ }^{\circ}\text{C}$   $a = 13,640(4)$ ,  $b = 6,875(2)$ ,  $c = 14,807(4)\text{ \AA}$ ,  $V = 1388,6(6)\text{ \AA}^3$ ,  $M_r = 249,31$ ,  $Z = 4$ , пространственная группа  $Pnma$ ,  $d_{\text{вып}} = 1,193\text{ г}/\text{см}^3$ ,  $\mu(\text{Mo}K_{\alpha}) = 0,073\text{ mm}^{-1}$ ,  $F(000) = 528$ .

Кристаллы соединения **2** триклинические,  $C_{20}H_{19}N_3$ , при  $20\text{ }^{\circ}\text{C}$   $a = 6,961(3)$ ,  $b = 9,006(5)$ ,  $c = 14,438(6)\text{ \AA}$ ;  $\alpha = 76,36(5)$ ,  $\beta = 87,09(5)$ ,  $\gamma = 87,06(4)$ ;  $V = 877,7(9)\text{ \AA}^3$ ,  $M_r = 301,38$ ,  $Z = 2$ , пространственная группа  $P\bar{1}$ ,  $d_{\text{вып}} = 1,140\text{ г}/\text{см}^3$ ,  $\mu(\text{Mo}K_{\alpha}) = 0,069\text{ mm}^{-1}$ ,  $F(000) = 320$ .

Параметры элементарной ячейки и интенсивности 8491 отражения (2179 независимых,  $R_{\text{int}} = 0,048$ ) и 5114 отражений (2894 независимых,  $R_{\text{int}} = 0,043$ ) для кристаллов мероцианина **1** и **2** соответственно измерены на дифрактометре "Xcalibur-3" (Mo $K_{\alpha}$ -излучение, CCD-детектор, графитовый монохроматор,  $\omega$ -сканирование,  $2\theta_{\text{макс}} = 60$  и  $50^{\circ}$  для **1** и **2** соответственно).

Структуры расшифрованы прямым методом по комплексу программ SHELXTL [ 12 ]. Положения атомов водорода выявлены из разностного синтеза электронной плотности и уточнены для структуры **1** изотропно, а для **2** — по модели "наездника" с  $U_{\text{изо}} = nU_{\text{экв}}$  неводородного атома, связанного с данным водородным ( $n = 1,5$  для метильной группы и  $n = 1,2$  для остальных атомов водорода) в случае структуры **2**. Структуры **1** и **2** уточнены по  $F^2$  полноматричным МНК в анизотропном приближении для неводородных атомов до  $wR_2 = 0,161$  по 2037 отражениям ( $R_1 = 0,057$  по 1135 отражениям с  $F > 4\sigma(F)$ ,  $S = 1,081$ ) и  $wR_2 = 0,206$  по 2803 отражениям ( $R_1 = 0,072$  по 2003 отражениям с  $F > 4\sigma(F)$ ,  $S = 1,040$ ) соответственно.

Значения длин связей и углов мероцианинов **1** и **2**, полученные из РСА, приведены в табл. 1.

ИК спектры регистрировали в таблетках KBr на спектрометре UR-20. Спектры  $^1\text{H}$  ЯМР измерены на спектрометре Varian Mercury-400 (400,40 МГц), внутренний стандарт TMS.

Квантовохимический расчет геометрии и порядков связей молекул мероцианинов **1** и **2** выполнен для вакуума полуэмпирическими методами AM1 и PM3 со стандартным набором параметров [ 13 ]. Расчет максимумов полос электронного поглощения проведен с учетом взаимодействия однократно возбужденных конфигураций, обусловленных всеми возможными электронными переходами с пяти ВЗМО на пять НВМО. Во всех случаях предварительно была

Т а б л и ц а 1

Длины связей, Å и углы, град. в соединениях 1 и 2

Связь	Соединение		Валентный угол	Соединение	
	1	2		1	2
N(1)—C(8)	1,364(3)	1,389(3)	C(8)—N(1)—C(1)	111,4(2)	111,9(2)
N(1)—C(1)	1,409(3)	1,407(3)	C(8)—N(1)—C(14)	125,0(2)	
N(1)—C(14)	1,454(3)		C(1)—N(1)—C(14)	123,6(2)	
N(2)—C(12)	1,138(3)		C(6)—C(1)—C(2)	122,9(2)	122,8(3)
N(3)—C(13)	1,142(4)		C(6)—C(1)—N(1)	108,9(2)	108,4(2)
C(1)—C(6)	1,376(3)	1,403(4)	C(2)—C(1)—N(1)	128,3(2)	128,8(2)
C(1)—C(2)	1,376(3)	1,397(4)	C(1)—C(2)—C(3)	117,4(2)	117,5(3)
C(2)—C(3)	1,377(4)	1,395(5)	C(2)—C(3)—C(4)	120,8(3)	120,4(3)
C(3)—C(4)	1,383(4)	1,384(5)	C(3)—C(4)—C(5)	120,8(3)	121,6(3)
C(4)—C(5)	1,390(4)	1,409(5)	C(6)—C(5)—C(4)	118,6(3)	118,7(3)
C(5)—C(6)	1,374(3)	1,386(4)	C(5)—C(6)—C(1)	119,6(2)	118,9(3)
C(6)—C(7)	1,516(3)	1,521(4)	C(5)—C(6)—C(7)	130,4(2)	130,8(2)
C(7)—C(8)	1,531(3)	1,545(4)	C(1)—C(6)—C(7)	110,1(2)	110,3(2)
C(7)—C(15)#1	1,537(2)		C(6)—C(7)—C(8)	101,0(2)	101,1(2)
C(7)—C(15)	1,537(2)		C(6)—C(7)—C(15)#1	110,2(1)	
C(8)—C(9)	1,372(3)	1,378(4)	C(8)—C(7)—C(15)#1	111,4(1)	
C(9)—C(10)	1,387(3)	1,428(4)	C(6)—C(7)—C(15)	110,2(1)	
C(10)—C(11)	1,374(3)	1,375(4)	C(8)—C(7)—C(15)	111,4(1)	
C(11)—C(13)	1,412(4)		C(15)#1—C(7)—C(15)	112,0(2)	
C(11)—C(12)	1,422(4)		N(1)—C(8)—C(9)	122,1(2)	122,6(2)
N(1)—C(18)		1,475(4)	N(1)—C(8)—C(7)	108,7(2)	108,1(2)
N(2)—C(16)		1,160(4)	C(9)—C(8)—C(7)	129,2(2)	129,2(2)
N(3)—C(17)		1,153(3)	C(8)—C(9)—C(10)	125,8(2)	127,9(3)
C(7)—C(19)		1,547(4)	C(11)—C(10)—C(9)	124,9(3)	122,8(3)
C(7)—C(20)		1,556(4)	C(10)—C(11)—C(13)	121,0(2)	
C(11)—C(12)		1,410(4)	C(10)—C(11)—C(12)	121,5(2)	
C(12)—C(13)		1,380(4)	C(13)—C(11)—C(12)	117,4(2)	
C(13)—C(14)		1,409(4)	N(2)—C(12)—C(11)	179,8(3)	
C(14)—C(15)		1,377(4)	N(3)—C(13)—C(11)	177,8(3)	
C(15)—C(17)		1,437(4)	C(8)—N(1)—C(18)		125,0(2)
C(15)—C(16)		1,449(4)	C(1)—N(1)—C(18)		123,0(2)
			C(6)—C(7)—C(19)		111,6(2)
			C(8)—C(7)—C(19)		110,6(2)
			C(6)—C(7)—C(20)		110,8(2)
			C(8)—C(7)—C(20)		112,8(2)
			C(19)—C(7)—C(20)		109,8(2)
			C(10)—C(11)—C(12)		125,8(3)
			C(13)—C(12)—C(11)		124,3(3)
			C(12)—C(13)—C(14)		124,7(3)
			C(15)—C(14)—C(13)		125,2(3)
			C(14)—C(15)—C(17)		122,3(2)
			C(14)—C(15)—C(16)		121,2(3)
			C(17)—C(15)—C(16)		116,5(2)
			N(2)—C(16)—C(15)		178,3(4)
			N(3)—C(17)—C(15)		178,6(3)

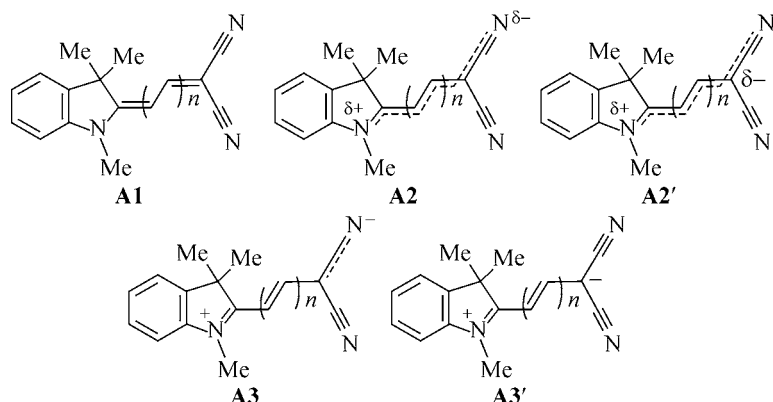
П р и м е ч а н и е. #1  $x, -y+1/2, z$ .

проведена оптимизация геометрии молекул методами AM1 и PM3 с использованием ограниченного метода Хартри—Фока и алгоритма Полак—Рибиера с точностью 0,001 ккал/( $\text{\AA}$ ·моль) и неэмпирическим методом *ab initio* с базисом 6-31G\*\* [14]. Расчет максимумов поглощения осуществлен также методами AM1 и PM3 на основании экспериментальной геометрии молекул, взятой из данных PCA.

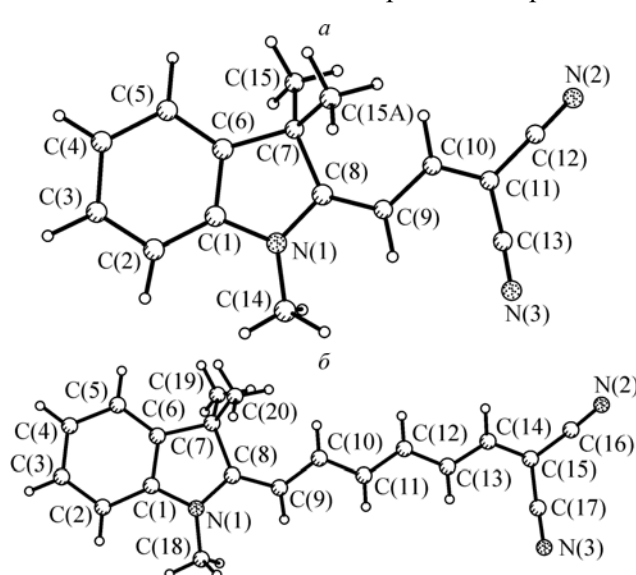
## ОБСУЖДЕНИЕ РЕЗУЛЬТАТОВ

Из данных PCA видно, что мероцианины **1** и **2** находятся в кристалле полностью в *транс*-(*all trans*)-конформации (рис. 1 и 2). Поскольку в спектрах  $^1\text{H}$  ЯМР в  $\text{CDCl}_3$  и  $\text{DMCO-D}_6$  величины КССВ между вицинальными протонами полиметиновой цепи красителей **1** и **2** не меньше 12 Гц, то можно заключить, что переход от кристалла к раствору не приводит к изменению этой конформации. Все неводородные атомы молекулы **1**, за исключением атома C(15), находятся в частном положении на плоскости симметрии. Удлинение полиметиновой цепи в соединении **2** приводит к изогнутости молекулы, которую можно охарактеризовать как взаимную ориентацию двух плоскостей: плоскости бициклического фрагмента и плоскости, проведенной через три концевых атома углерода полиметиновой цепи. Угол между этими плоскостями в молекуле **2** составляет 11,7°.

Электронное строение мероцианиновых красителей может изменяться в пределах трех идеальных состояний: **A1**, **A2** (или **A2'** и его аналоги) и **A3** (или аналогичные **A3'**) [15].



Структура **A1** соответствует идеальному нейтральному полиену с нулевыми  $\pi$ -зарядами на атомах и максимальной альтернацией порядков простых и двойных связей в цепи сопряжения.



Структура **A2** (**A2'**) отображает идеальное полиметиновое состояние, называемое также цианиновым пределом (cyanine limit), характеризующееся альтернацией частичных ( $\delta$ ) положительных и отрицательных  $\pi$ -зарядов и выравненностью порядков связей в хромофоре (порядок связи полуторный). Структура **A3** (**A3'**) имитирует идеальное состояние биполярного полиена с максимальным разделением разноименных зарядов и альтернацией порядков связей. Последняя комплементарна к альтернации порядков связей в структуре **A1**. Длинноволновый электронный переход в идеаль-

Рис. 1. Молекулярная структура соединения **1**

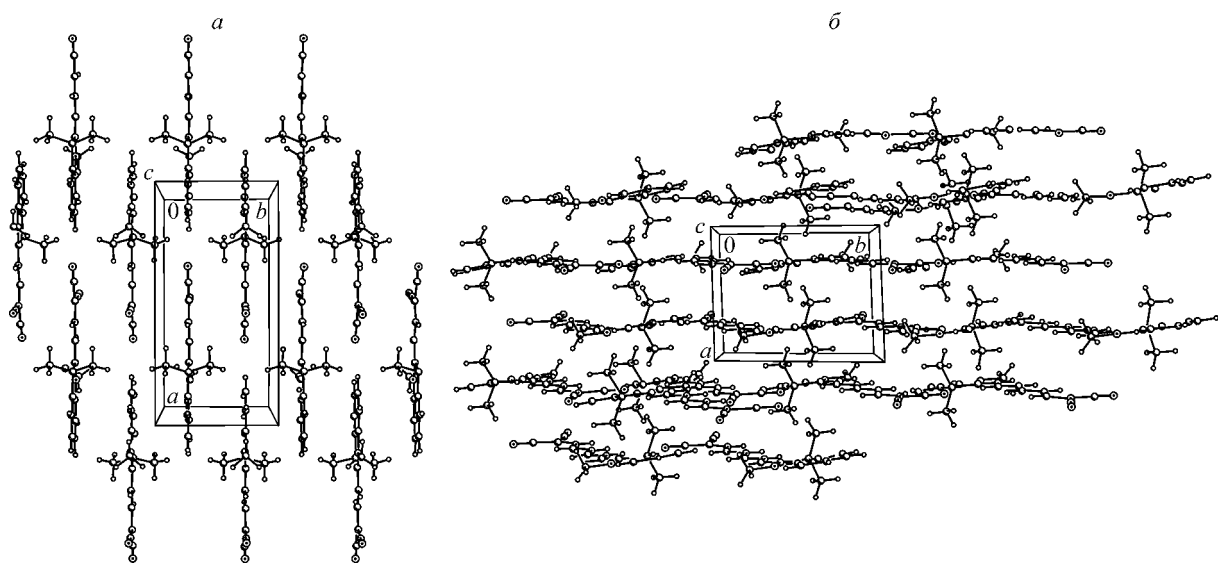


Рис. 2. Молекулярная структура соединения 2

ном полиметиновом состоянии сопровождается наименьшим изменением порядков связей, поскольку в структуре **A2** (**A2'**), в отличие от структур **A1** и **A3** (**A3'**), они могут изменяться только в пределах от полуторных к двойным или простым. В результате этого у полиметинов выибранные взаимодействия (ВВ) ослаблены по сравнению с полиенами обоих типов [15, 16]. Выравненность связей и альтернация зарядов в полиметиновом хромофоре в структурах **A2** (**A2'**) обусловливает более длинноволновые сдвиги полос поглощения и флуоресценции, чем в структурах **A1** и **A3** (**A3'**) [13].

Данные РСА показывают, что в молекуле **1** формально длины двойных связей C(8)—C(9) и C(10)—C(11) и формально одинарной связи C(9)—C(10) очень близки (см. табл. 1). Эти величины позволяют предположить, что строение красителя **1** в кристалле приближается к структуре идеального полиметинового состояния **A2** (**A2'**) со стороны **A1**. Удлинение полиметиновой цепи в молекуле **2** приводит к усилению альтернации длин связей в ней, строение молекулы приближается к структуре нейтрального полиена **A1**. В малополярном  $\text{CDCl}_3$  величины КССВ между вицинальными протонами цепи красителя **2** равны:  $J_{12-13} = 12,7$ ,  $J_{13-14} = 13,3$ ,  $J_{14-15} = 12,0$ ,  $J_{15-16} = 13,4$ ,  $J_{16-17} = 12,4$  Гц соответственно. Из сопоставления данных РСА и ЯМР можно заключить, что в малополярных растворах, так же как и в кристалле, электронное строение мероцианина **2** приближается к структуре **A1**.

Переход от кристалла к раствору и дальнейшее увеличение полярности растворителя приводит к смещению электронной плотности от донорного фрагмента к акцепторному в молекулах мероцианинов **1** и **2**, обусловливая рост частичного положительного и отрицательного зарядов соответственно на первом и последнем фрагментах. Это приводит к повышению порядка простой связи и уменьшению его у двойной связи, т.е. к выравниванию связей в хромофоре (приближению их к полуторным). В результате электронное строение красителей **1** и **2** изменяется в направлении структуры **A2** (**A2'**). Увеличением вклада последней обусловлен батохромный сдвиг полос поглощения мероцианинов **1** и **2** (положительная сольватохромия) с ростом полярности среды [10].

Дополнительную информацию об электронном строении мероцианинов можно получить на основании количественной оценки степени альтернации длин или порядков связей в хромофоре, так как она связана с важнейшими характеристиками электронных спектров красителей — виниленовым сдвигом, девиацией и шириной полос [16]. Виниленовый сдвиг в рядах полиметиновых красителей достигает величины 100 нм при выравненности порядков связей хромофора и затухает при усилении их чередования. Девиация, являющаяся количественной

Т а б л и ц а 2

*Некоторые результаты квантовохимического расчета молекул мероцианинов 1 и 2*

Соединение	Геометрия	Метод	BLA, Å	BOA <sub>T</sub>	BOA <sub>c</sub>	λ <sub>max</sub> , нм
<b>1</b>	PCA	AM1	0,015	-0,457	-0,467	404
		PM3		-0,445	-0,455	428
	AM1	AM1	0,064	-0,546	-0,547	401
		PM3	0,083	-0,618	-0,613	395
	<i>Ab initio</i>		0,064			
<b>2</b>	PCA	AM1	0,038	-0,577	-0,573	478
		PM3		-0,569	-0,568	488
	AM1	AM1	0,084	-0,665	-0,654	428
		PM3	0,083	-0,698	-0,684	403
	<i>Ab initio</i>		0,094			

BLA принимает положительные значения у структур **A1** и промежуточных между **A1** и **A2 (A2')**, отрицательные у **A3 (A3')** и у структур интервала **A2 (A2')—A3 (A3')** [ 15 ]. Параметр BOA имеет противоположные знаки у этих структур. Оба параметра равны нулю для структур типа **A2 (A2')**. Значения BLA, определенные из экспериментальных данных PCA для связей полиметиновой цепи (C8—C9—C10—C11 для **1**, C10—C12—C13—C14—C15—C16—C17—C18 для **2**) красителей **1** и **2** приведены в табл. 2. Они значительно меньше величины BLA циклооктатетраена (BLA = 0,11 нм), используемого в качестве модельного идеального нейтрального полиэна [ 17 ]. Это указывает на то, что электронное строение мероцианинов **1** и **2** соответствует интервалу структур **A1—A2 (A2')**. Существенный рост величины BLA при переходе от красителя **1** к **2** свидетельствует об увеличении альтернации длин связей, а следовательно, характера нейтрального полиэна у последнего по сравнению с первым.

Уменьшение виниленовых сдвигов, рост девиаций и уширение полос поглощения при переходе от диметин- к гексаметинмероцианину в малополярных растворителях указывает на то, что в таких растворах также имеет место аналогичная тенденция [ 10 ]. Более прямым доказательством увеличения вклада структуры **A1** в малополярных растворах с ростом *n* служат также спектры <sup>13</sup>C ЯМР. В них с удлинением полиметиновой цепи уменьшается альтернация сдвигов, а следовательно, зарядов соседних атомов углерода цепи [ 18 ].

Параметры альтернации связей рассчитаны также квантовохимическими полуэмпирическими и неэмпирическими методами (см. табл. 2). Сравнение рассчитанных параметров с полученными на основании данных PCA показывает одинаковые тенденции в их изменении с ростом длины цепи. Однако расчет дает существенно более сильную альтернацию длин связей хромофора, особенно в случае короткого винилога **1** (ср. табл. 1 и 2). Отличия связаны, по-видимому, с влиянием окружения в кристалле в случае PCA. Теоретические значения BLA возрастают при удлинении цепи более плавно, а в методе PM3 остаются неизменными. Следует отметить также, что результаты расчетов геометрии молекул мероцианинов **1** и **2** методами *ab initio* и AM1 очень близки, что говорит о полезности последнего метода для расчета подобных красителей.

Значения параметра BOA (в нашем случае порядкам связей соответствуют индексы Вайберга) во всех расчетных методах возрастают с длиной цепи как для полных порядков (BOA<sub>T</sub>), так и для π-порядков (BOA<sub>c</sub>). Из табл. 2 видно, что величины BOA<sub>T</sub> и BOA<sub>c</sub> весьма близки. Отсюда можно заключить, что основной вклад как в параметр BOA, так и BLA вносит перераспределение π-электронной плотности. Величины BOA<sub>T</sub> и BOA<sub>c</sub>, рассчитанные на основании геометрии, оптимизированной квантовохимическими методами, превышают аналогичные величины, базисом для которых служили экспериментальные данные PCA, однако качественно

мерой электронной асимметрии, возрастает при увеличении альтернации порядков связей. Ширина полос пропорциональна величине ВВ, также определяемой степенью чередования связей.

Для количественной оценки альтернации длин и порядков связей в хромофоре донорно-акцепторных сопряженных систем, к числу которых относятся мероцианины, в литературе наиболее часто используются параметры BLA (bond length alternation) и BOA (bond order alternation) соответственно [ 17 ]. Они представляют собой разность средних длин (порядков) формально простых и двойных связей полиметиновой цепи [ 17 ]. Параметр

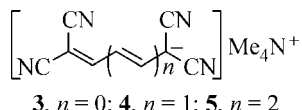
правильно передают тенденции в изменении параметров альтернации связей при удлинении полиметиновой цепи. Сильная альтернация связей полиметиновой цепи в полуэмпирических методах проявилась также в заниженных, по сравнению с экспериментальными, величинах рассчитанных максимумов и виниленовых сдвигов полос поглощения мероцианинов (см. табл. 2, [ 10 ]). Например, дивиниленовый сдвиг по методу AM1 и PM3 при оптимизации геометрии этими же методами равен 27 и 8 нм соответственно, при использовании рентгеновской геометрии — 74 и 60 нм, тогда как эксперимент дает 110 нм (в *n*-гексане).

Молекулы соединений **1** и **2** в кристаллической упаковке образуют слоистую структуру. Слои молекулы **1** параллельны кристаллографической плоскости  $X0Z$ , а молекулы **2** — плоскости  $X0Z$ . В соседних слоях молекулы располагаются по типу голова-хвост со сдвигом относительно друг друга. Для такой структуры обеспечивается максимальное электростатическое притяжение разноименных зарядов атомов хромофора одного слоя с таковыми другого слоя (см. рис. 1 и 2). Выгодность слоистой структуры для красителей цианинового типа обусловлена также тем, что электродинамические (дисперсионные) взаимодействия между легко поляризуемыми  $\pi$ -системами их молекул максимальны [16]. Расстояние между плоскостями молекул в соседних слоях лежит в интервале 3,6—3,8 Å. При таких расстояниях должно реализоваться сильное взаимодействие хромофоров, приводящее к расщеплению электронных уровней, а следовательно, появлению новых полос поглощения, в частности, в коротковолновой области. Причем согласно экситонной теории оно должно усиливаться при увеличении числа взаимодействующих молекул [16]. Расчет по методу AM1 для элементарной ячейки кристалла из двух молекул предсказывает наличие такой полосы в области 438 нм, а для кластера из трех молекул он дает значение 394 нм.

По изложенным выше причинам слоистая структура агрегатов должна быть наиболее выгодной при ассоциации мероцианинов **1** и **2** в растворах. Действительно, у мероцианина **2** в *n*-гексане при увеличении концентрации до  $10^{-4}$  моль/л появляется новая коротковолновая интенсивная полоса поглощения с максимумом 400 нм (полоса мономера мероцианина **2** в гексане имеет максимум 532 нм).

Важной особенностью мероцианинов **1** и **2** является наличие нитрильной группы в их хромофоре, которая в отличие от карбонильной группы, входящей в состав большинства мероцианинов [2, 3], имеет характеристическую частоту валентных колебаний в ИК спектрах, значительно отстоящую от аналогичных частот колебаний связей C=C и C—N хромофора. Полярность и порядок связи этой группы должны зависеть от вклада структур **A1—A3**. Поэтому представляло интерес выяснить, будет ли ее валентное колебание характеристично при изучении полиен-полиметиновых релаксаций в соединениях на основе малононитрила. Квантовохимический расчет методом AM1 предполагает незначительный рост частоты валентного колебания групп C≡N. Рассчитанные частоты симметричного и антисимметричного колебания этих групп у мероцианинов **1** и **2** равны 2560, 2546 и 2562, 2548 см<sup>-1</sup> соответственно. В эксперименте четко видна одна полоса с частотой 2219 см<sup>-1</sup> у соединения **1** и 2224 см<sup>-1</sup> у красителя **2**.

Рассчитанные численные значения превышают экспериментальные, что является особенностью полуэмпирических и неэмпирических методов расчета колебательных спектров [19]. Однако качественно правильно передают экспериментальную тенденцию изменения частоты нитрильной группы у мероцианинов **1** и **2**. С этой тенденцией показательно контрастирует ее изменение при удлинении цепи у типичных полиметинов симметричного строения, соответствующих структурам **A2** (**A2'**), анионных красителей **3—5**.



В ряду 3—5 частоты валентных колебаний нитрильной группы равны 2213, 2213 и  $2194\text{ см}^{-1}$  соответственно. В самом малононитриле она имеет значение 2271, в фумаронитриле — 2260, в акрилонитриле —  $2230\text{ см}^{-1}$ . Из этих данных видно, что при переходе от нейтральных нитри-

лов к мероцианинам и полиметинам закономерно уменьшается частота колебания цианогруппы. Это свидетельствует о понижении ее порядка вследствие увеличения вклада структур типа **A2** (**A2'**) и **A3** (**A3'**) в электронное строение красителей. При удлинении полиметиновой цепи у мероцианинов **1** и **2**, в противоположность симметричным полиметинам **3—5**, частота цианогруппы повышается, что, как и данные РСА, указывает на увеличение вклада структуры нейтрального полиена **A1**. Следовательно, о полиен-полиметиновых превращениях в мероцианинах на основе малононитрила можно судить как по данным РСА, так и по изменению частоты валентных колебаний цианогруппы в ИК спектре.

#### СПИСОК ЛИТЕРАТУРЫ

1. Reichardt C. Solvents and Solvent Effects in Organic Chemistry. – Weinheim: Wiley-VCH, 2003.
2. Давиденко Н.А., Ищенко А.А., Кувшинский Н.Г. Фотоника молекулярных полупроводниковых композитов на основе органических красителей. – Киев: Наукова думка, 2005.
3. Mishra A., Behera R.K., Behera P.K. et al. // Chem. Rev. – 2000. – **100**, N 6. – P. 1973 – 2011.
4. Ganeev R.A., Tugushev R.I., Ishchenko A.A. et al. // Appl. Phys. B. – 2003. – **76**. – P. 683 – 686.
5. Dalton L., Harper A., Ren A. et al. // Eng. Chem. Res. – 1999. – **38**. – P. 8 – 33.
6. Baraldi I., Brancolini G., Momicchioli F. et al. // Chem. Phys. – 2003. – **288**. – P. 309 – 325.
7. Bondarev S.L., Tikhomirov S.A., Knyukshto V.N. et al. // J. Lumin. – 2007. – **124**, N 1. – P. 178 – 186.
8. Ищенко А.А., Кулнич А.В., Бондарев С.Л. и др. // Оптика и спектроскоп. – 2006. – **101**, № 1. – С. 95 – 103 (Ishchenko A.A., Kulinich A.V., Bondarev S.L. et al. // Optics and Spectroscopy. – 2006. – **101**, N 1. – P. 90 – 97).
9. Lim W.-T., Cui J.-Zh., Suh H.-J. et al. // Dyes and Pigments. – 2003. – **56**. – P. 7 – 15.
10. Кулнич А.В., Деревянко Н.А., Ищенко А.А. // Изв. АН. Сер. хим. – 2005. – № 12. – С. 2726 – 2735 (Kulinich A.V., Derevyanko N.A., Ishchenko A.A. // Russ. Chem. Bull. – 2005. – **54**, N 12. – P. 2714 – 2725).
11. Бондарев С.Л., Тихомиров С.А., Кнюксито В.Н. и др. // Оптика и спектроскоп. – 2005. – **99**, № 1. – С. 55 – 61.
12. Sheldrick G.M. SHELXTL PLUS. PC Version. A system of computer programs for the determination of crystal structure from X-ray diffraction data. Rev. 5.1. – 1998.
13. Stewart J.J.P. // J. Computer-Aided Molecular Design. – 1990. – **4**. – P. 1 – 105.
14. Schmidt M.W., Baldridge K.K., Boatz J.A. et al. // J. Comput. Chem. – 1993. – **14**. – P. 1347 – 1363.
15. Bach G., Daehne S. Cyanine dyes and related compounds // Rodd's Chemistry of Carbon Compounds. Vol. IVB. Heterocyclic compounds (Chapter 15) / Ed. M. Sainsbury. – Amsterdam: Elsevier, 1997. – P. 383 – 481.
16. Ищенко А.А. Строение и спектрально-люминесцентные свойства полиметиновых красителей. – Киев: Наукова Думка, 1994.
17. Bublitz G.U., Ortiz R., Marder S.R. et al. // J. Amer. Chem. Soc. – 1997. – **119**, N 14. – P. 3365 – 3376.
18. Kulinich A.V., Ishchenko A.A., Groth U.M. // Spectrochim. Acta. Part A. – 2007. – **68**, N 1. – P. 6 – 14.
19. Foresman J.B., Frish A. Exploring Chemistry with Electronic Structure Methods. SE. – Pittsburgh: Gaussian Inc., 1996.